

FIG.3a: Plan yy'

Emittance à 50 MeV

Courant total 115 mA

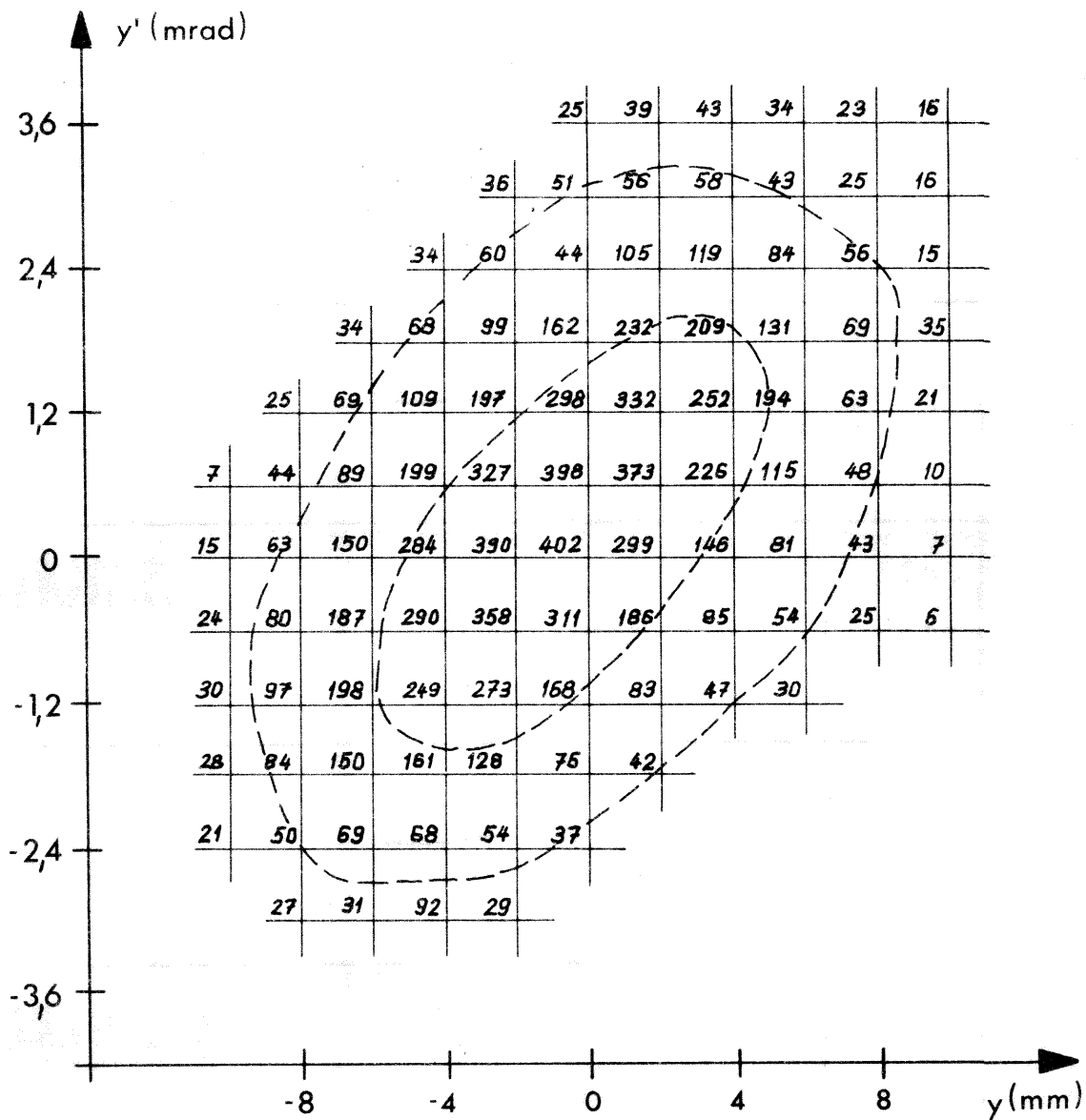
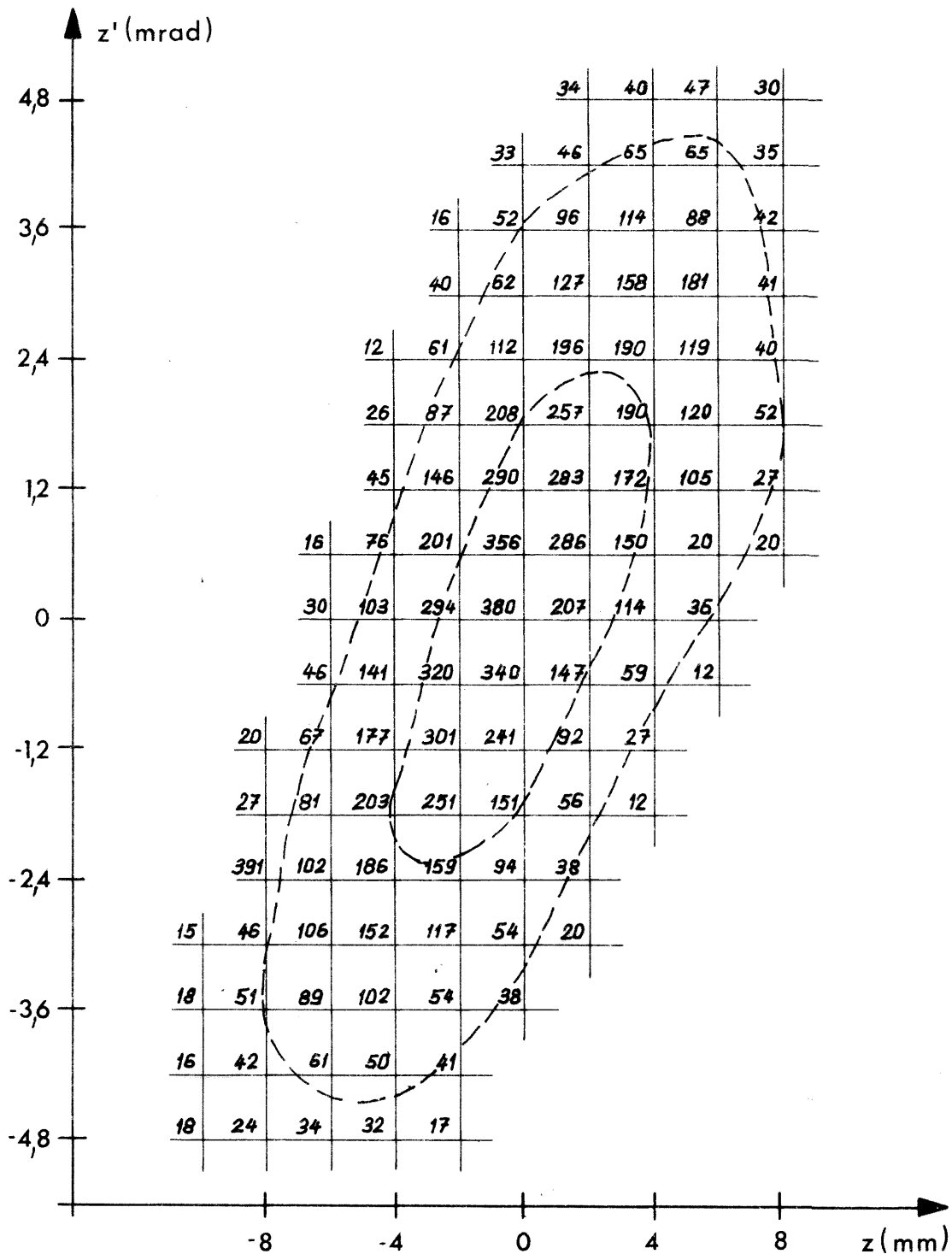


FIG.3b: Plan z z'

Emittance à 50 MeV

Courant total 115 mA



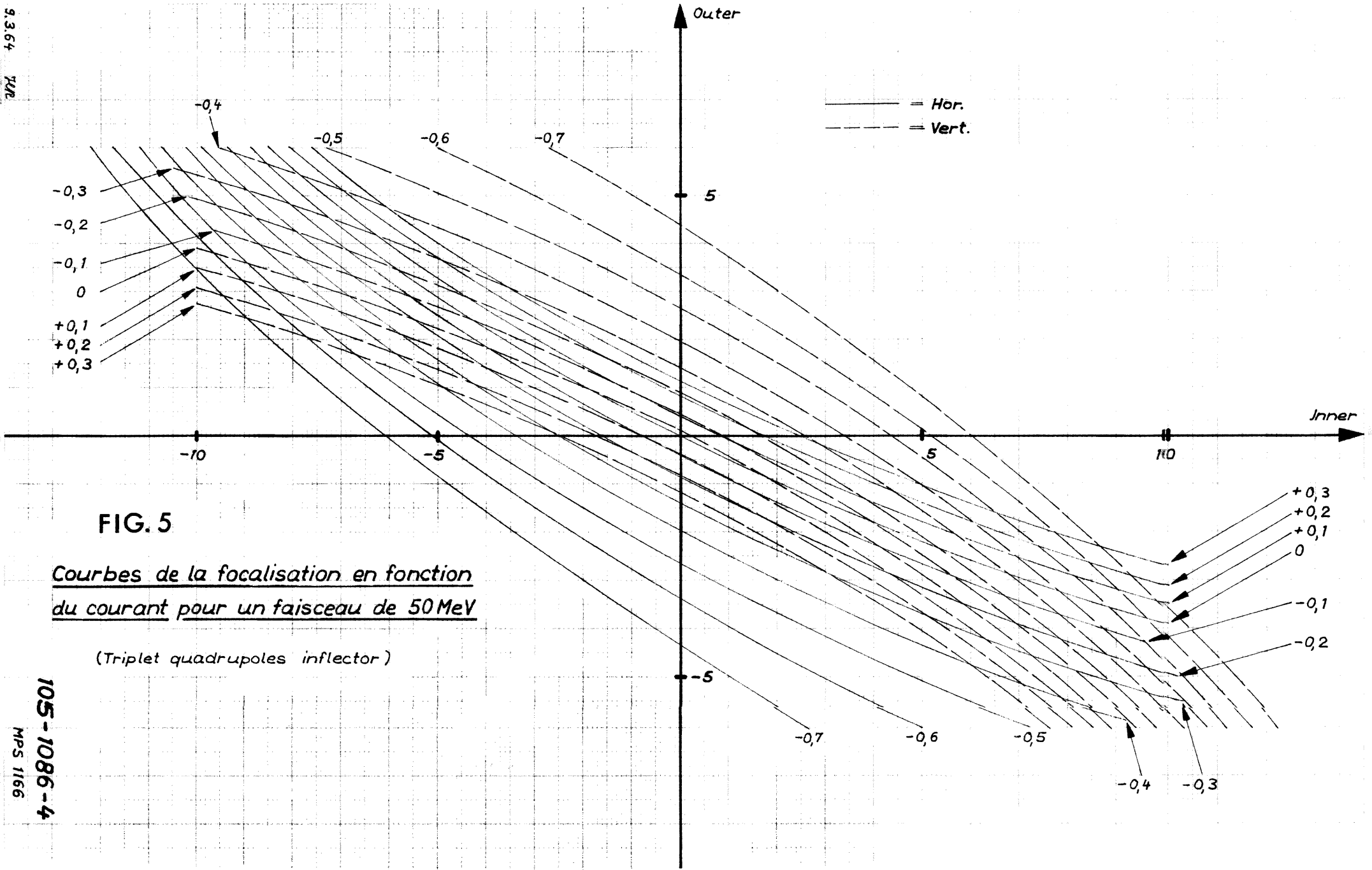


FIG. 5

Courbes de la focalisation en fonction
du courant pour un faisceau de 50 MeV

(Triplet quadrupoles inflector)

105-1086-4

MPS 1166

FIG. 4: Courbes emittance - courant

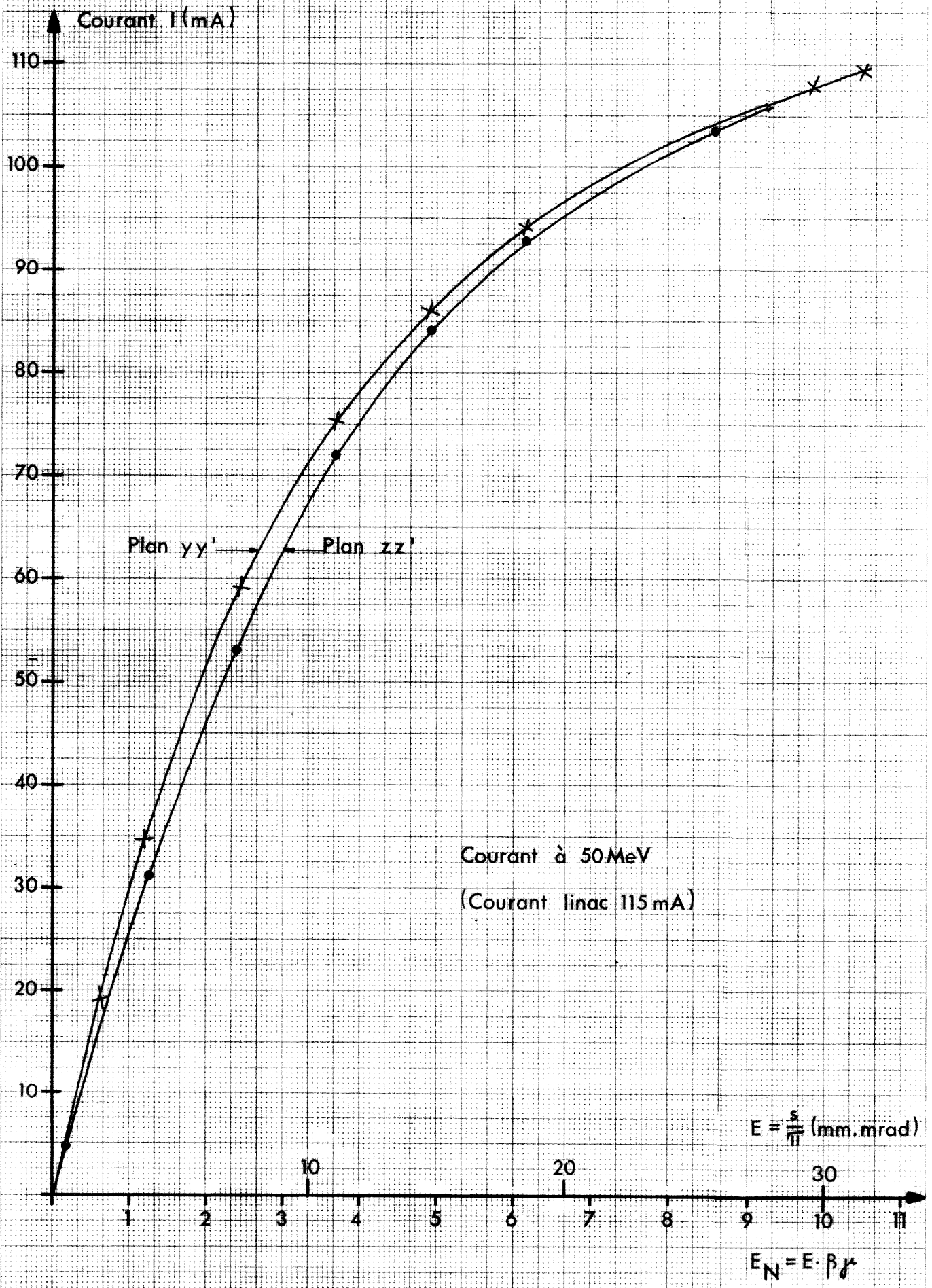


FIG. 6b: Limitation proportionnelle pour faisceaux fins à l'aide de 2 volets. Plans yy' et zz'

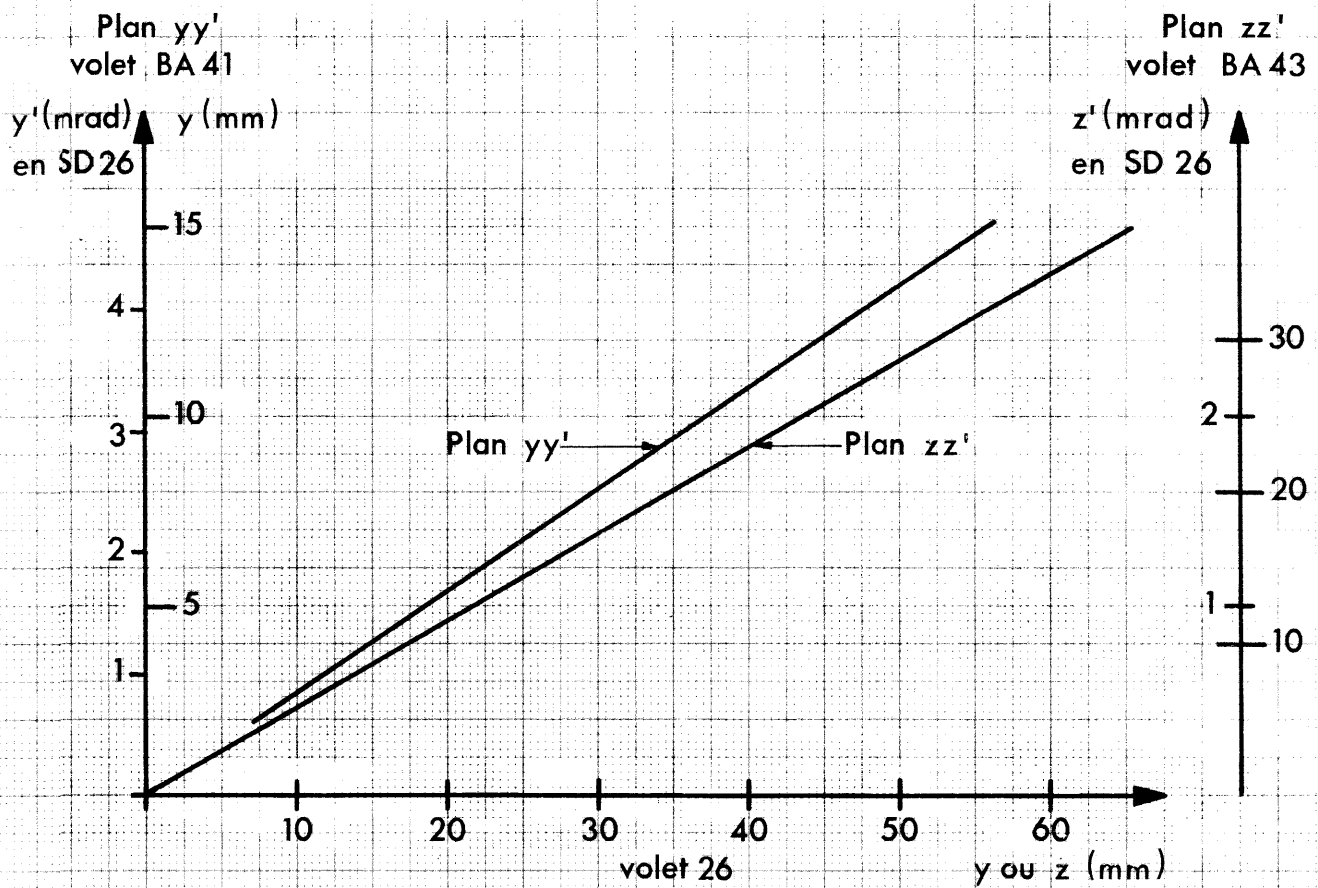


FIG. 6b: Limitation $z_{26} = f(y_{26})$ pour avoir en utilisant les courbes ci-dessus une limitation du plan yy' égale au plan zz'

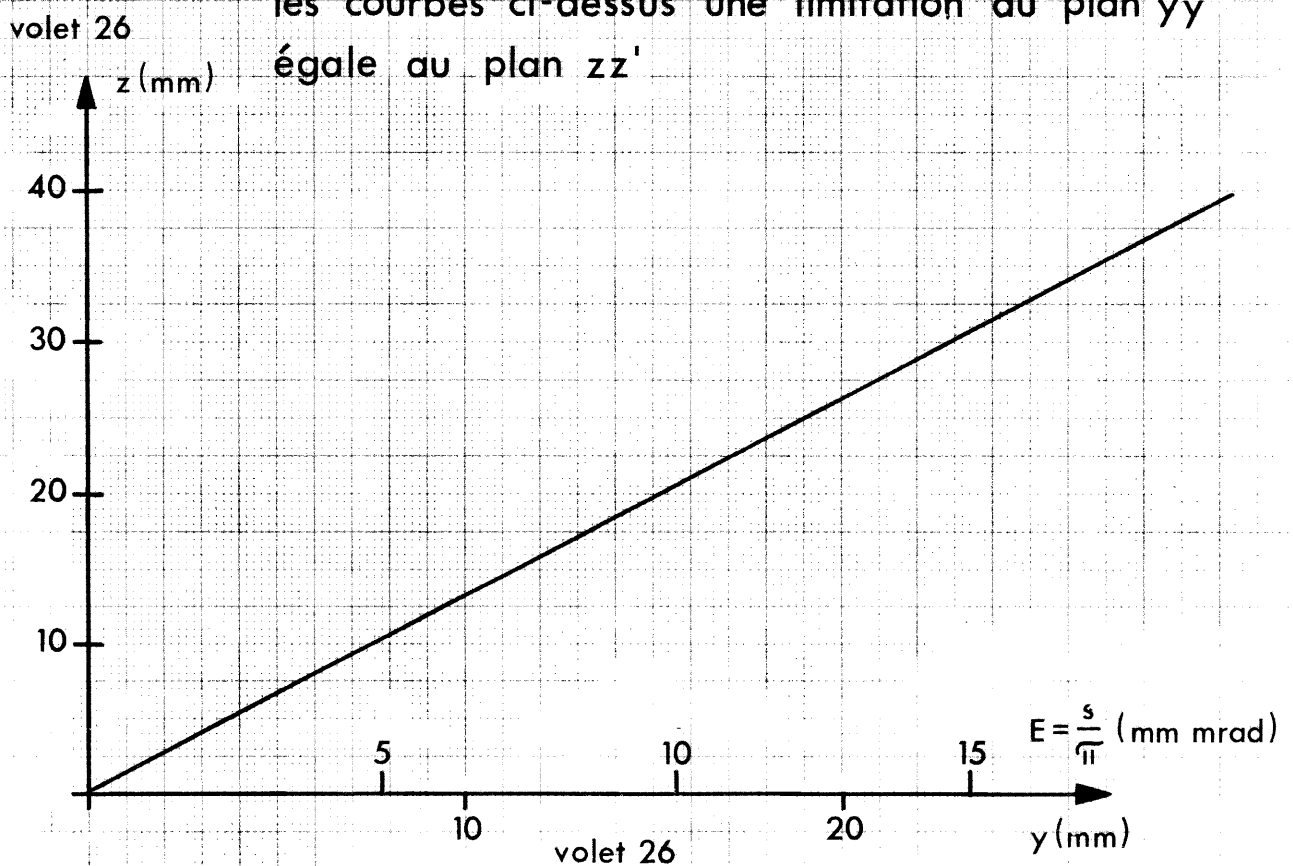


FIG. 2a et 2b : Situation de l'optique de l'infecteur

FIG.2a: Schéma équivalent de l'optique de l'infecteur dans le plan yy'

Milieu de la section droite

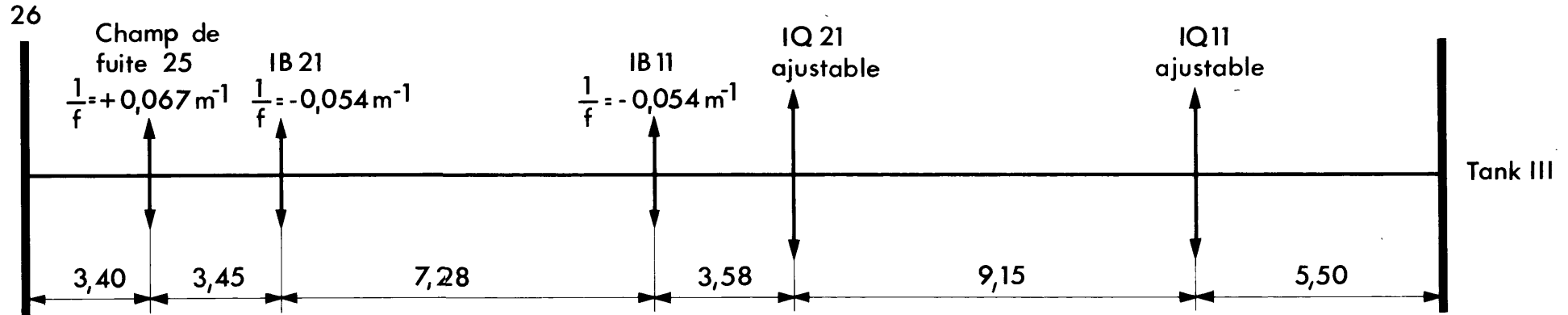
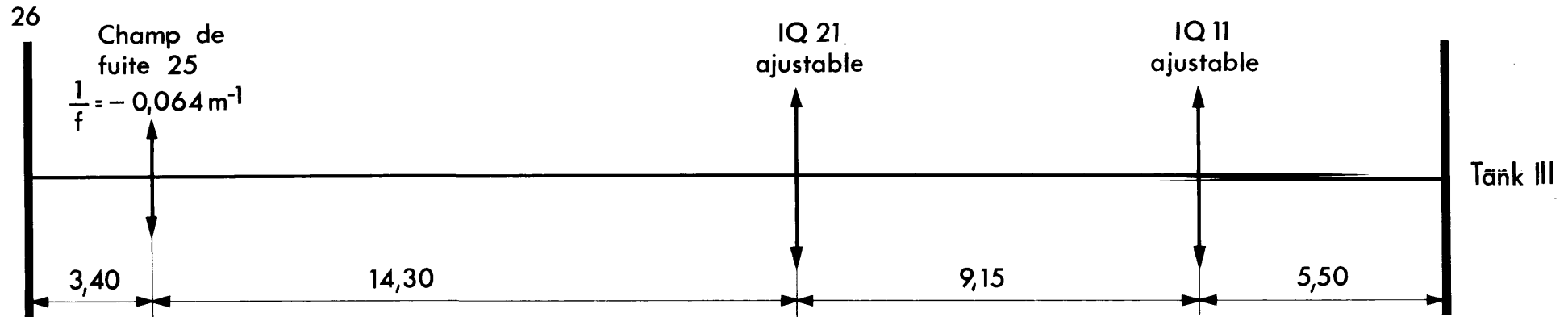


FIG.2b: Schéma équivalent de l'optique de l'infecteur dans le plan zz'

Milieu de la section droite



Les $\frac{1}{f}$ sont positifs pour les valeurs défocalisantes des lentilles.
 Les espaces de glissement sont comptés en mètres